



Laboratorium EMVO Sp. J. Urbański, Pawelak
ul. Jasna 1
00-013 Warszawa

tel. +48 22 780 29 64
e-mail: laboratorium@emvo.pl



AB 1630

Sprawozdanie z pomiarów pól elektromagnetycznych - środowisko ogólne nr 34/05/OŚ/2022– P4-W



Nr i nazwa stacji	LUB1068A	
Adres	Lublin, ul. Nałęczowska 30, pow. Lublin, woj. lubelskie	
Opracowanie		Specjalista ds. pomiarów
Autoryzacja		Kierownik Laboratorium
Podpis	Podpis jest prawidłowy Dokument podpisany przez ██████████ Data: 2022.05.19 07:24:39 CEST Powód: Zatwierdzam dokument	
Data	2022-05-18	

Spis treści

1. Informacje ogólne.....	3
2. Podstawa prawna.	3
3. Opis pomiarów.....	4
4. Zróżnicowanie dopuszczalne poziomy pól elektromagnetycznych.....	5
5. Charakterystyka źródeł PEM.....	5
6. Wyniki pomiarów.....	5
7. Stwierdzenie zgodności	7
8. Oświadczenie.....	8
9. Spis załączników.	8

1. Informacje ogólne.

Zleceniodawca	P4 sp. z o.o., ul. Wynałazek 1, 02-677 Warszawa osoba udzielająca informacji- [REDACTED]
Istotne informacje dostarczone przez klienta	komplet informacji niezbędnych do wykonania pomiarów i opracowania sprawozdania
Dane otrzymane od klienta mogące mieć wpływ na ważność wyników	Dane anten sektorowych, dane anten radioliniowych, parametry pracy instalacji, poprawka pomiarowa, ustawienie pochylenia anten
Prowadzący instalację	P4 sp. z o.o., ul. Wynałazek 1, 02-677 Warszawa
Lokalizacja obiektu	Lublin, ul. Nałęczowska 30, pow. Lublin, woj. lubelskie
Miejsce instalacji anten	Dach budynku
Miejsce instalacji urządzeń	Outdoor
Osoby wykonujące pomiar	[REDACTED]
Data wykonania pomiaru	18.05.2022
Temperatura na początku pomiaru [°C]	17,0
Temperatura na koniec pomiaru [°C]	17,0
Warunki atmosferyczne	Brak opadów
Wilgotność na początku pomiaru [%]	32,0
Wilgotność na koniec pomiaru [%]	32,0
Godzina na początku pomiaru	16:00
Godzina na koniec pomiaru	17:38
Inne źródła pól elektromagnetycznych oznaczone na załączniku graficznym	Występują
Parametry pracy instalacji	Rzeczywisty

2. Podstawa prawna.

2.1 Normy i rozporządzenia:

- Rozporządzeniem Ministra Klimatu z dnia 17 lutego 2020 r. w sprawie sposobów sprawdzania dotrzymania dopuszczalnych poziomów pól elektromagnetycznych w środowisku (Dz.U. 2020 poz. 258)
- Rozporządzenie Ministra Zdrowia z dnia 17 grudnia 2019 r. w sprawie dopuszczalnych poziomów pól elektromagnetycznych w środowisku (Dz.U. 2019 poz. 2448)
- Obwieszczenie Marszałka Sejmu Rzeczypospolitej Polskiej z dnia 19 lipca 2019 r. w sprawie ogłoszenia jednolitego tekstu ustawy - Prawo ochrony środowiska (Dz.U. 2019 poz. 1396).

3. Opis pomiarów

Metodologia pomiarowa	Pomiary w oparciu o Rozporządzeniem Ministra Klimatu z dnia 17 lutego 2020 r. w sprawie sposobów sprawdzania dotrzymania dopuszczalnych poziomów pól elektromagnetycznych w środowisku (Dz.U. 2020 poz. 258).
Cel badań	Określenie wartości natężenia pola elektrycznego w miejscach dostępnych dla ludności.
Opis zestawu pomiarowego	Miernik Narda NBM 520, Sonda EF 9091, o zakresie pomiarowym 0,7 V/m - 400V/m pracująca w paśmie 0,1 – 90 GHz, świadectwo wydane przez Laboratorium Wzorców i Metrologii Pola Elektromagnetycznego, Instytut Telekomunikacji, Teleinformatyki i Akustyki Politechniki Wrocławskiej. Świadectwo ważne do 13.07.2023r. Miernik Narda NBM 520, Sonda EF 9091 pracująca w zakresie temperatury -10°C - +50°C oraz wilgotności 5% - 95%. Niepewność rozszerzona 59,4% przy poziomie ufności 95% z uwzględnieniem współczynnika rozszerzenia k=2.
Wypożyczenie pomocnicze	Termohigrometr Termoprodukt, typ: Termik+, nr identyfikacyjny 700618, świadectwo wzorcowania nr 1763/AH/19 z dn. 29.07.2019 r. wydane przez Laboratorium Pomiarowe "MUTECH". Przymiar wstępowy STABILA, nr identyfikacyjny 31WL, świadectwo wzorcowania nr 6W1/1826/19 z dn. 02.08.2019 r. wydane przez Dyrektora Okręgowego Urzędu Miar w Gdańsku. GPS Garmin 64s okresowo sprawdzany w punktach osnowy geodezyjnej klasy 3 na podstawie licencji punktu, zgodnie z procedurą sprawdzeń okresowych IS/PO16-11/03.
Pomiary zostały wykonane	<ol style="list-style-type: none">1. na głównych i pomocniczych kierunkach pomiarowych, na kierunkach zbliżonych do azymutów anten oraz w dodatkowych pionach pomiarowych zgodnie z wymaganiami pkt 12, 13, 14 i 19 załącznika do rozporządzenia Ministra Klimatu z dnia 17 lutego 2020 r. (Dz. U. 2020, poz. 258),2. na obszarze pomiarowym, dla którego, na podstawie uprzednio wykonanych obliczeń uzyskanych od zleceniodawcy, stwierdzono możliwość występowania pól elektromagnetycznych o poziomach zbliżonych do poziomów dopuszczalnych zgodnie z wymaganiami pkt 5 ppkt 2 oraz pkt 13 ppkt 1 załącznika do rozporządzenia Ministra Klimatu z dnia 17 lutego 2020 r. (Dz. U. 2020, poz. 258). Wyniki obliczeń nie uwzględniały parametrów pracy instalacji innych operatorów występujących na obiekcie bądź w obszarze pomiarowym.3. w miejscach dostępnych dla ludności.4. miejsca niedostępne podczas wykonywania pomiarów wskazane zostały w pkt 6 (tabeli wyniki pomiarów)5. wyniki pomiarów uzyskane zostały przy uwzględnieniu poprawek pomiarowych przekazanych przez zleceniodawcę oraz przy rzeczywistych warunkach pracy instalacji innych operatorów (w przypadku występowania). W takiej sytuacji uwzględniono jednolitą poprawkę pomiarową wynoszącą 2,0.
Szczególne warunki podczas wykonywania pomiarów	Pomiary wykonane zostały podczas obowiązywania w kraju stanu epidemii, zgodnie z art. 122a ust. 1b Ustawy z dnia 27 kwietnia 2001 r. – Prawo ochrony środowiska (Dz. U. z 2019 r. poz. 1396, z późn. zm.9))
Warunki pracy urządzeń nadawczych	Podczas pomiarów zostały uwzględnione poprawki pomiarowe przekazane przez zleceniodawcę, umożliwiające uwzględnienie maksymalnych parametrów pracy

instalacji zgodnie z pkt 7 załącznika do Rozporządzeniem Ministra Klimatu z dnia 17 lutego 2020 r. w sprawie sposobów sprawdzania dotrzymania dopuszczalnych poziomów pól elektromagnetycznych w środowisku (Dz. U. 2020, poz. 258).

4. Zróżnicowanie dopuszczalne poziomy pól elektromagnetycznych.

Zakresy znajdują się w Dzienniku Ustaw z dnia 17 grudnia 2019 r. przedstawione są w tabeli nr 2 (Dz. U. z 2019r. poz. 2448).

Parametr fizyczny	Składowa elektryczna E (V/m)	Składowa magnetyczna H (A/m)	Gęstość mocy S (W/m ²)
Zakres Częstotliwości pola elektromagnetycznego			
od 400 MHz do 2000 MHz	$1,375 \times f^{0,5}$	$0,0037 \times f^{0,5}$	f / 200
od 2 GHz do 300 GHz	61	0,16	10

5. Charakterystyka źródeł PEM.

Zgodnie z informacją otrzymaną od Klienta pomiary zostały wykonane przy ustawieniach pochylenia anten zgodnych z pkt. 13, ppkt 2 załącznika do rozporządzenia Ministra Klimatu z dnia 17 lutego 2020 roku.

Tabela 1. Anteny sektorowe - dane otrzymane od klienta

Charakterystyka promieniowania		kierunkowa												
Rzeczywisty czas pracy [h/dobę]		24												
Rodzaj wytwarzanego pola		stacjonarne												
L	Wyszczególnienie	sektor 1						sektor 2						
p														
I	Nadajnik stacji bazowej:													
1	Typ / Producent	RBS / SRAN Ericsson												
2	Częstotliwość (pasmo) MHz	900	800	2600	2100	1800	2600	2100	1800	900	800	2100	1800	2600
3	Maksymalna moc nadawana na sektor [dBm]	41,8	43,01	47,3	46	46	47,3	46	46	44,8	43,01	42,79	42,79	45,17
II	Obciążenie:													
1	Typ anteny	Huawei AMB4519R0		Huawei AMB4520R0			Huawei AMB4520R0			Huawei ADU4516R6		Huawei ADU4518R6		Huawei ADU4518R6
2	Producent anteny	Huawei		Huawei			Huawei			Huawei		Huawei		Huawei
3	Ilość anten	1		1			1			1		1		1
4	Azymut	30						90						
5	Zakres kątów pochylenia anten [°]	0-10	0-10	0-6	0-6	0-6	0-6	0-6	0-6	0-7				
6	Wysokość zainst. n.p.t. [m]	24,80		25,10			25,10			20,30		20,55		20,55
7	EIRP [W]	1966		9928			9928			1849		1990		1994

Charakterystyka promieniowania		kierunkowa												
Rzeczywisty czas pracy [h/dobę]		24												
Rodzaj wytwarzanego pola		stacjonarne												
Lp	Wyszczególnienie	sektor 3						sektor 4						
I	Nadajnik stacji bazowej:													
1	Typ / Producent	RBS / SRAN Ericsson												
2	Częstotliwość (pasmo) MHz	2100	1800	900	2600	800	900	800	2600	2100	1800	2600	2100	1800
3	Maksymalna moc nadawana na sektor [dBm]	50,01	50,01	41,8	52,04	43,01	41,8	43,01	47,3	46	46	47,3	46	46
II	Obciążenie:													
1	Typ anteny	Huawei ATR451606		Huawei ATR451606		Huawei AMB4519R0		Huawei AMB4520R0		Huawei AMB4520R0				
2	Producent anteny	Huawei		Huawei		Huawei		Huawei		Huawei				
3	Ilość anten	1		1		1		1		1				
4	Azymut	250				330								
5	Zakres kątów pochylecia anten [°]	0-6				0-10	0-10	0-7	0-7	0-7	0-7	0-7	0-7	
6	Wysokość zainst. n.p.t. [m]	24,80				24,80		25,10		25,1				
7	EIRP [W]	9866		8808		1966		9928		9928				

Tabela 2. Anteny radioliniowe- dane otrzymane od klienta

Charakterystyka promieniowania		kierunkowa					
Rzeczywisty czas pracy [h/dobę]		24					
Rodzaj wytwarzanego pola		stacjonarne					
Lp	Linia radiowa			Antena			
	typ/producent	częstotliwość pracy [GHz]	moc wyjściowa [dBm]	typ/producent	średnica anteny [m]	azymut [°]	wysokość zainstal. [m]
1	OPTIX RTN/HUAWEI	80	18	VHLP1-80/Andrew	0,3	245	26,30
2	OPTIX RTN/HUAWEI	80	18	VHLP2-80/Andrew	0,6	314	22,50

6. Wyniki pomiarów.

Wyniki pomiarów pól elektromagnetycznych dla celów ochrony środowiska przedstawia poniższa tabela. Piony pomiarowe zostały przedstawione w zał. 2.

Nr PP	Pole-E [V/m]	Pole-E *kE,+U [V/m]	Pole-H [A/m]	Pole-H *kE,+U [A/m]	Wys. pomiaru [m]	Opis pionu	Uwagi	WM _E	WM _H
1	2,8	8,93	0,007	0,024	0,3-2,0	N:51°15'01.7" E:22°30'40.0"	otoczenie stacji bazowej - 50m wzdłuż gł. osi promieniowania - GKP	0,319	0,324
2	1,2	3,83	0,003	0,010	0,3-2,0	N:51°15'02.9" E:22°30'41.5"	otoczenie stacji bazowej - 100m wzdłuż gł. osi promieniowania - GKP	0,137	0,139
3	0,7*	2,55	0,002	0,007	0,3-2,0	N:51°15'05.7" E:22°30'43.9"	otoczenie stacji bazowej - 200m wzdłuż gł. osi promieniowania - GKP	0,091	0,093
4	1,7	5,42	0,005	0,014	0,3-2,0	N:51°15'59.7" E:22°30'41.3"	otoczenie stacji bazowej - 40m wzdłuż gł. osi promieniowania - GKP	0,194	0,197
5	0,9	2,87	0,002	0,008	0,3-2,0	N:51°14'59.7" E:22°30'44.1"	otoczenie stacji bazowej - 100m wzdłuż gł. osi promieniowania - GKP	0,102	0,104
6	0,8	2,55	0,002	0,007	0,3-2,0	N:51°14'59.7" E:22°30'47.2"	otoczenie stacji bazowej - 150m wzdłuż gł. osi promieniowania - GKP	0,091	0,093
7	0,7*	2,55	0,002	0,007	0,3-2,0	N:51°14'59.5" E:22°30'49.7"	otoczenie stacji bazowej - 206m wzdłuż gł. osi promieniowania - GKP	0,091	0,093
8	0,7*	2,55	0,002	0,007	0,3-2,0	N:51°14'59.5" E:22°30'36.1"	otoczenie stacji bazowej - 50m wzdłuż gł. osi promieniowania - GKP	0,091	0,093
9	0,7*	2,55	0,002	0,007	0,3-2,0	N:51°14'58.6" E:22°30'31.4"	otoczenie stacji bazowej - 150m wzdłuż gł. osi promieniowania - GKP	0,091	0,093

„Bez pisemnej zgody Laboratorium niniejsze sprawozdanie nie może być powielane inaczej, jak tylko w całości. Ponadto wyniki dotyczą tylko badanych obiektów przywołanych w niniejszym sprawozdaniu z badań”

10	0,7*	2,55	0,002	0,007	0,3-2,0	N:51°14'58.0" E:22°30'28.8"	otoczenie stacji bazowej - 200m wzdłuż gł. osi promieniowania - GKP	0,091	0,093
11	0,7	2,23	0,002	0,006	0,3-2,0	N:51°14'57.9" E:22°30'26.7"	otoczenie stacji bazowej - 250m wzdłuż gł. osi promieniowania - GKP	0,080	0,081
12	2,4	7,65	0,006	0,020	0,3-2,0	N:51°15'01.5" E:22°30'37.5"	otoczenie stacji bazowej - 50m wzdłuż gł. osi promieniowania - GKP	0,273	0,278
13	2,8	8,93	0,007	0,024	0,3-2,0	N:51°15'03.1" E:22°30'36.4"	otoczenie stacji bazowej - 100m wzdłuż gł. osi promieniowania - GKP	0,319	0,324
14	1,0	3,19	0,003	0,008	0,3-2,0	N:51°15'04.3" E:22°30'35.2"	otoczenie stacji bazowej - 150m wzdłuż gł. osi promieniowania - GKP	0,114	0,116
15	0,7*	2,55	0,002	0,007	0,3-2,0	N:51°15'06.0" E:22°30'34.0"	otoczenie stacji bazowej - 200m wzdłuż gł. osi promieniowania - GKP	0,091	0,093
16	0,7*	2,55	0,002	0,007	0,3-2,0	N:51°15'07.3" E:22°30'32.9"	otoczenie stacji bazowej - 250m wzdłuż gł. osi promieniowania - GKP	0,091	0,093
17	1,2	3,83	0,003	0,010	0,3-2,0	N:51°15'01.5" E:22°30'41.7"	otoczenie stacji bazowej - GKP	0,137	0,139
18	1,5	4,78	0,004	0,013	0,3-2,0	N:51°15'00.5" E:22°30'41.8"	otoczenie stacji bazowej - GKP	0,171	0,174
19	1,6	5,10	0,004	0,014	0,3-2,0	N:51°14'58.9" E:22°30'39.6"	otoczenie stacji bazowej - GKP	0,182	0,185
20	0,8	2,55	0,002	0,007	0,3-2,0	N:51°14'59.1" E:22°30'37.0"	otoczenie stacji bazowej - GKP	0,091	0,093
21	2,0	6,38	0,005	0,017	0,3-2,0	N:51°15'00.4" E:22°30'35.3"	otoczenie stacji bazowej - GKP	0,228	0,232
22	2,0	6,38	0,005	0,017	0,3-2,0	N:51°15'01.7" E:22°30'38.7"	otoczenie stacji bazowej - GKP	0,228	0,232
23	2,3	7,33	0,006	0,019	0,3-2,0	N:51°15'01.2" E:22°30'37.4"	otoczenie stacji bazowej - 50m wzdłuż gł. osi promieniowania - GKP	0,262	0,266
A	2,2	7,01	0,006	0,019	0,3-2,0	N:51°14'59.2" E:22°30'38.2"	Nałęczowska 30A, pomiar przed budynkiem -DPP	0,250	0,255
B	0,8	2,55	0,002	0,007	0,3-2,0	N:51°14'58.6" E:22°30'38.5"	Skromna 8A, pomiar przed budynkiem -DPP	0,091	0,093
C	0,7*	2,55	0,002	0,007	0,3-2,0	N:51°14'57.8" E:22°30'31.7"	Przyjacielska 5, pomiar przed budynkiem -DPP	0,091	0,093
D	0,7*	2,55	0,002	0,007	0,3-2,0	N:51°14'59.0" E:22°30'36.0"	Przyjacielska 4, pomiar przed budynkiem -DPP	0,091	0,093
E	0,8	2,55	0,002	0,007	0,3-2,0	N:51°14'58.8" E:22°30'41.4"	Skromna 10, pomiar przed budynkiem -DPP	0,091	0,093
F	0,8	2,55	0,002	0,007	0,3-2,0	N:51°14'59.6" E:22°30'44.0"	Nałęczowska 26, pomiar przed budynkiem -DPP	0,091	0,093
G	1,0	3,19	0,003	0,008	0,3-2,0	N:51°15'02.4" E:22°30'42.4"	Nałęczowska 55, pomiar przed budynkiem -DPP	0,114	0,116
H	0,7*	2,55	0,002	0,007	0,3-2,0	N:51°15'06.4" E:22°30'45.7"	Cisowa 9, pomiar przed budynkiem - DPP	0,091	0,093
I	0,8	2,55	0,002	0,007	0,3-2,0	N:51°15'04.1" E:22°30'36.0"	Nałęczowska 71, pomiar przed budynkiem -DPP	0,091	0,093
J	1,0	3,19	0,003	0,008	0,3-2,0	N:51°15'02.4" E:22°30'39.4"	Nałęczowska 59, pomiar przed budynkiem -DPP	0,114	0,116
K	0,8	2,55	0,002	0,007	0,3-2,0	N:51°15'02.8" E:22°30'38.8"	Nałęczowska 59A, pomiar przed budynkiem -DPP	0,091	0,093
L	0,9	2,87	0,002	0,008	0,3-2,0	N:51°15'02.1" E:22°30'37.9"	Nałęczowska 61/63, pomiar przed budynkiem -DPP	0,102	0,104
M	0,7*	2,55	0,002	0,007	0,3-2,0	N:51°14'59.7" E:22°30'34.9"	Budynek przemysłowy, pomiar przed budynkiem -DPP	0,091	0,093
N	1,0	3,19	0,003	0,008	0,3-2,0	N:51°15'00.4" E:22°30'35.3"	Nałęczowska 30, pomiar przed budynkiem -DPP	0,114	0,116
O	2,0	6,38	0,005	0,017	0,3-2,0	N:51°15'01.2" E:22°30'36.8"	Nałęczowska 32, pomiar przed budynkiem -DPP	0,228	0,232
P	2,5	7,97	0,007	0,021	0,3-2,0	N:51°15'00.9" E:22°30'38.1"	Nałęczowska 30/16, pomiar przed budynkiem -DPP	0,285	0,290

Wynik pomiaru pole - E [V/m] - maksymalna wartość chwilowa zmierzona w danym pionie pomiarowym (uśredniona na podstawie punktu 11 Załącznika do Rozporządzenia Ministra Zdrowia).

Przyjęto najniższą dopuszczalną wartość składowej elektrycznej pola dla objętego pomiarami zakresu częstotliwości min(ME_{gr})= 28 V/m oraz składowej magnetycznej min(MH_{gr})= 0,073 A/m.

* - wartość zmierzona poniżej zakresu akredytacji. Do obliczeń przyjęto wartość zgodną z dolną granicą

„Bez pisemnej zgody Laboratorium niniejsze sprawozdanie nie może być powielane inaczej, jak tylko w całości. Ponadto wyniki dotyczą tylko badanych obiektów przywołanych w niniejszym sprawozdaniu z badań”

akredytowanego zakresu pomiarowego metody.

GKP - główne kierunki pomiarowe

PKP - pomocnicze kierunki pomiarowe

DPP - dodatkowe punkty pomiarowe

PP - pion pomiarowy

U - niepewność pomiarowa rozszerzona, przy poziomie ufności 95%, z uwzględnieniem współczynnika rozszerzenia $k=2$

kE - poprawka pomiarowa badanej instalacji radiokomunikacyjnej podana przez operatora ($kE=1,7$), poprawka pomiarowa w przypadku oddziaływania innych instalacji radiokomunikacyjnych na badany obszar ($kE=2,0$)

WM_E - wartość wskaźnikowa poziomu emisji pól elektromagnetycznych dla miejsc dostępnych dla ludności dla składowej elektrycznej pola

WM_H - wartość wskaźnikowa poziomu emisji pól elektromagnetycznych dla miejsc dostępnych dla ludności dla składowej magnetycznej pola

7. Stwierdzenie zgodności

Na podstawie wytycznych podanych w Rozporządzeniu Ministra Zdrowia z dnia 17 grudnia 2019 r. w sprawie dopuszczalnych poziomów pól elektromagnetycznych w środowisku (Dz.U. 2019 poz. 2448) oraz sposobów sprawdzania dotrzymania tych poziomów zgodnie z Rozporządzeniem Ministra Klimatu z dnia 17 lutego 2020 r. w sprawie sposobów sprawdzania dotrzymania dopuszczalnych poziomów pól elektromagnetycznych w środowisku (Dz.U. 2020 poz. 258) dotyczących źródła wymagań, które muszą być spełnione (załącznik do rozporządzenia Ministra Klimatu z dnia 17 lutego 2020 r. (poz. 258)), w oparciu o zasadę podejmowania decyzji zgodną z pkt 26 załącznika do rozporządzenia Ministra Klimatu z dnia 17 lutego 2020 r. (poz. 258), na podstawie wyników pomiarów pól elektromagnetycznych wykonanych w dniu 18.05.2022 stwierdzono, iż w miejscach dostępnych dla ludności, dopuszczalne poziomy pól elektromagnetycznych w środowisku, określone w przepisach wydanych na podstawie art. 122 ust. 1 ustawy z dnia 27 kwietnia 2001 r. – Prawo ochrony środowiska, uznaje się za dotrzymane w obszarze pomiarowym, w którym w wyniku zastosowania sposobu sprawdzenia dotrzymania dopuszczalnych poziomów pól elektromagnetycznych w środowisku, udokumentowano, że żadna z wartości wskaźnikowych nie przekracza wartości 1.

8. Oświadczenie.

Wyniki badania odnoszą się wyłącznie do badanego obiektu.

Bez pisemnej zgody sprawozdanie nie może być powielane inaczej, jak tylko w całości.

Uwagi i zastrzeżenia przyjmowane są w formie pisemnej w ciągu 14 dni od daty otrzymania sprawozdania.

9. Spis załączników.

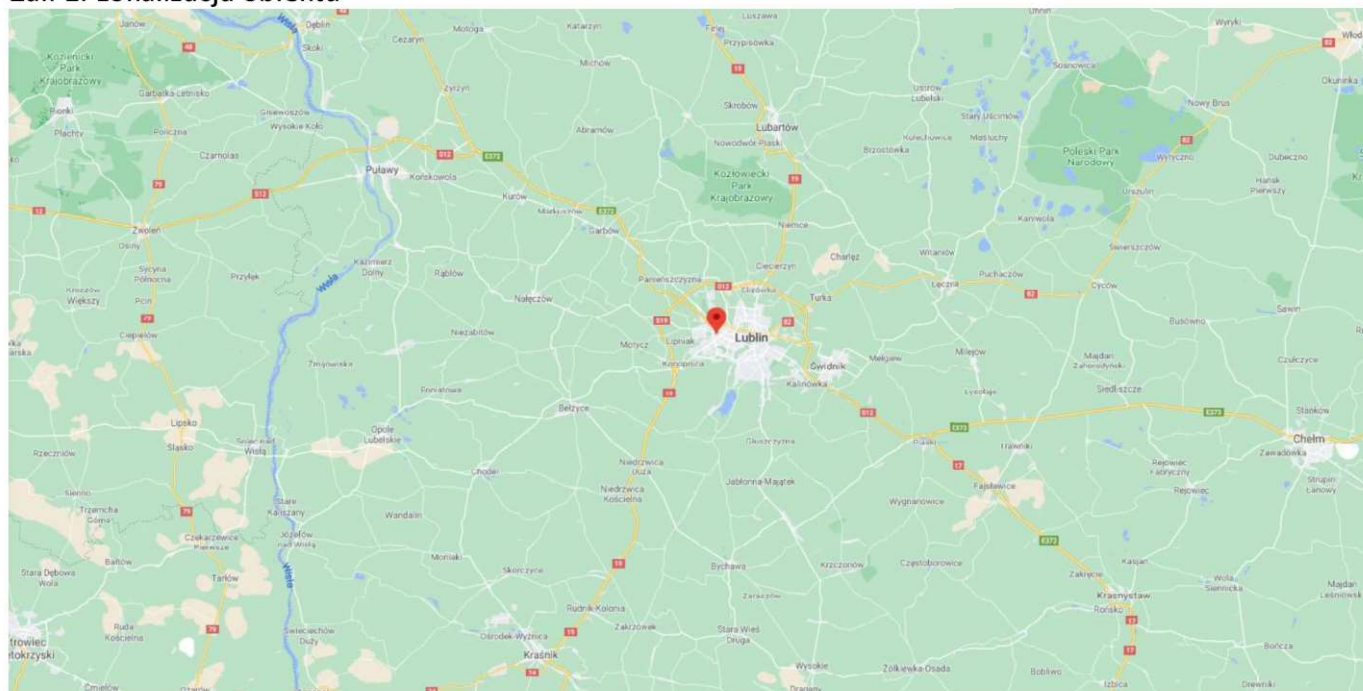
Załącznik 1. Lokalizacja obiektu.

Załącznik 2. Widok pionów pomiarowych

Załącznik 3. Załączniki graficzne

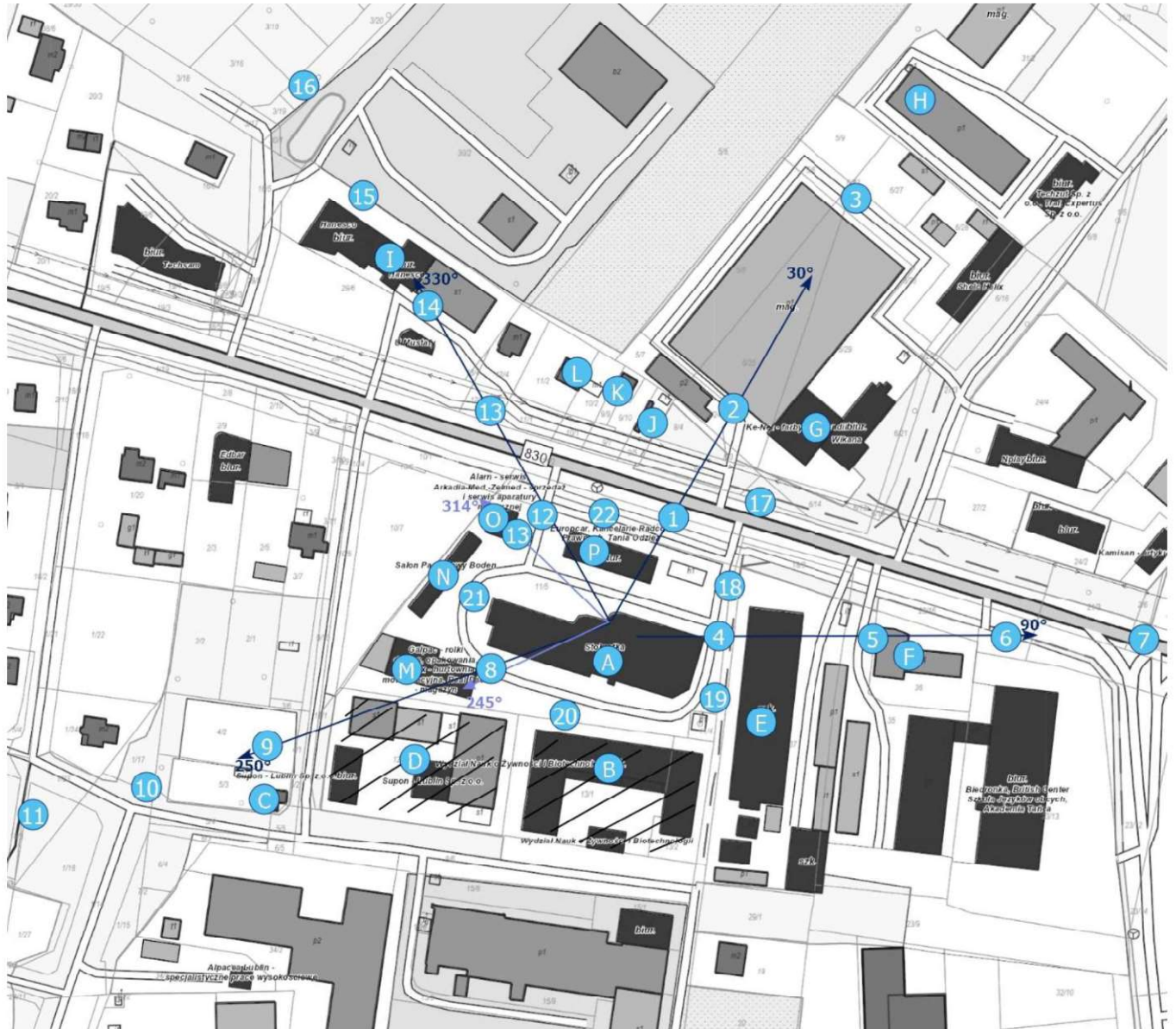
Koniec sprawozdania

Załącznik 1. Lokalizacja obiektu




Współrzędne geograficzne	
długość:	22°30'38.70"E
szerokość:	51°14'59.56"N


Załącznik 2. Widok pionów pomiarowych



LEGENDA:

 inna instalacja radiokomunikacyjna

 brak dostępu

 pion pomiarowy z poprawką pomiarową (brak innych instalacji radiokomunikacyjnych)

Odległość, do której zostały wykonane pomiary mierząc od instalacji antenowej wynosi min.: 251 metrów.

 pion pomiarowy z poprawką pomiarową (w zasięgu innych instalacji radiokomunikacyjnych)

 antena sektorowa

 antena radioliniowa

Skala: 1:2900



„Bez pisemnej zgody Laboratorium niniejsze sprawozdanie nie może być powielane inaczej, jak tylko w całości. Ponadto wyniki dotyczą tylko badanych obiektów przywołanych w niniejszym sprawozdaniu z badań”

Załącznik 3. Załączniki graficzne.

